

日本大学理工学部 正員 久宝雅史
会上 〇竹次三雄

1. 摘要

ある地盤に海岸構造物を計画するとき、その地盤における計画潮位や計画波高および周期などの外的条件を適切に選ぶことが重要な作業である。本研究は、天文潮や気象潮などの長周期の潮位変動と比較的短い周期の波浪の不規則性を同時に考慮して、時間の経過とともに割合で変化する潮位変動に対する波高の変化を同時に相関頻度分布を示し、その相関分布から潮位と波高の実際を示す一つの回帰曲線を選ば、この回帰曲線と波峯位の出現頻度から、合理的な計画潮位および計画波高を選択する方法について論じたものである。

2. 潮位と波高の相関頻度分布

天文潮や気象潮などの潮位変動は、かなり長周期で、しかも比較的規則的な変化をするが、波浪現象は、やはりランダムな現象で、比較的周期の短い不規則な現象である。このようひらがりランダム性の乏しい潮位変動とランダムな波高の変動を統計的に同時に論することは種々論議をよびところである。勿論、潮位や波高といふ避け難い現象を別々に評価することは重要であるが、他方、これららの変動を同時に評価することも、五毛六データの中に含まれる要素を見つけ出す莫大な計算であると思われる。このようひらがり方にまとめて、潮位と波高の相関分布について検討した。

表1 潮位 Y_t と波高 X_s の相関表

表-1は、千葉県九十九里海岸片貝漁港を得られた潮位(Y_t)と波高(X_s)の変動を階級20 cm間隔で示した潮位と波高の相関分布である。¹⁾ この相関分布から求められた相関係数は $r = 0.14$ でかなり小さな相関関係である。しかしながら、潮位(Y_t)と波高(X_s)のそれぞれの出現頻度をみると、潮位のモード $Y_t = 120 \sim 139$ cm と波高のモード $X_s = 40 \sim 59$ cm の附近で、潮位と波高の同時に出現頻度が最も多くなり、この位置を中心とする潮位と波高の出現頻度が周辺へ抜がって減少していく。このようひらがり分布から潮位と波高の相関出現頻度をみてみよう、例えば、 $Y_t = 120 \sim 139$ cm に対して $X_s = 40 \sim 59$ cm の出現頻度は、 $f = 216$ であり、 $Y_t = 40 \sim 59$ cm に対して $X_s = 120 \sim 139$ cm の出現頻度は、 $f = 20$ である。二のようひらがり、潮位 Y_t と波高 X_s の値の和が同じ値となるところから、これらの出現頻度に大きな差が生じている。そして、表-1の中の実線で示すようひらがり潮位 Y_t と波高 X_s の和が同じ値となる位置では、 $Y_t = 120 \sim 139$ cm と $X_s = 40 \sim 59$ cm の交差をモードとした、一つの頻度分布を形成することになる。このようひらがり、相関頻度分布を考えると、その最も出現頻度の位置を潮位と波高の代表値として選ぶことか望ましいと考えることができる。他の潮位と波高についても同様に論行うことができる。潮位と波高の和が同じ値となる場合のモードの位置を潮位と波高の代表値とすることができる。

| Y_t (cm) \ X_s (cm) | -40 | -20 | 0 | 20 | 40 | 60 | 80 | 100 | 120 | 140 | 160 | 180 | 200 | TOTAL |
|-------------------------|-----|-----|-----|-----|-----|-----|-----|-----|-----|-----|-----|-----|-----|-------|
| Y_t (cm) | -20 | -1 | 19 | 39 | 59 | 79 | 99 | 119 | 139 | 159 | 179 | 199 | 219 | |
| 0 - 19 | 0 | 0 | 0 | 0 | 0 | 0 | 0 | 1 | 0 | 0 | 0 | 0 | 0 | 1 |
| 20 - 39 | 0 | 4 | 10 | 29 | 27 | 27 | 45 | 61 | 65 | 28 | 1 | 1 | 0 | 298 |
| 40 - 59 | 1 | 10 | 32 | 73 | 117 | 134 | 172 | 211 | 216 | 163 | 75 | 16 | 1 | 1221 |
| 60 - 79 | 2 | 3 | 30 | 58 | 94 | 134 | 173 | 202 | 222 | 173 | 95 | 15 | 0 | 1201 |
| 80 - 99 | 0 | 10 | 13 | 35 | 83 | 89 | 121 | 136 | 171 | 111 | 51 | 14 | 0 | 834 |
| 100 - 119 | 0 | 1 | 10 | 34 | 41 | 52 | 62 | 103 | 103 | 90 | 44 | 18 | 0 | 558 |
| 120 - 139 | 0 | 1 | 7 | 16 | 20 | 21 | 32 | 53 | 66 | 57 | 25 | 7 | 0 | 305 |
| 140 - 159 | 0 | 1 | 2 | 7 | 11 | 21 | 32 | 31 | 49 | 30 | 15 | 8 | 1 | 208 |
| 160 - 179 | 1 | 0 | 1 | 2 | 10 | 14 | 15 | 25 | 27 | 18 | 18 | 5 | 0 | 136 |
| 180 - 199 | 0 | 0 | 0 | 1 | 7 | 1 | 9 | 18 | 18 | 15 | 11 | 6 | 1 | 87 |
| 200 - 219 | 0 | 0 | 0 | 1 | 1 | 2 | 7 | 12 | 13 | 9 | 4 | 5 | 0 | 54 |
| 220 - 239 | 1 | 0 | 0 | 0 | 0 | 1 | 5 | 3 | 3 | 7 | 3 | 1 | 1 | 25 |
| 240 - 259 | 1 | 0 | 0 | 1 | 0 | 2 | 1 | 7 | 10 | 1 | 1 | 0 | 0 | 24 |
| 260 - 279 | 0 | 0 | 0 | 1 | 0 | 1 | 4 | 1 | 2 | 2 | 2 | 0 | 0 | 13 |
| 280 - 299 | 0 | 0 | 0 | 0 | 0 | 1 | 2 | 5 | 4 | 6 | 2 | 0 | 0 | 20 |
| 300 - 319 | 0 | 0 | 0 | 0 | 0 | 2 | 3 | 4 | 5 | 4 | 1 | 0 | 0 | 19 |
| 320 - 339 | 0 | 0 | 0 | 0 | 0 | 3 | 2 | 3 | 2 | 5 | 2 | 1 | 0 | 18 |
| 340 - 359 | 0 | 0 | 0 | 0 | 0 | 0 | 4 | 0 | 3 | 2 | 4 | 0 | 0 | 13 |
| 360 - 379 | 0 | 0 | 0 | 0 | 0 | 0 | 3 | 4 | 2 | 4 | 3 | 0 | 0 | 16 |
| 380 - 399 | 0 | 0 | 0 | 0 | 0 | 0 | 0 | 0 | 0 | 0 | 0 | 0 | 0 | 0 |
| 400 - 419 | 0 | 0 | 0 | 0 | 0 | 0 | 0 | 0 | 0 | 0 | 0 | 0 | 0 | 1 |
| TOTAL | 6 | 30 | 105 | 256 | 417 | 505 | 692 | 880 | 981 | 725 | 358 | 97 | 4 | 5052 |

3. 波高と潮位における波高の関係

潮位と波高の頻度分布を西端有限であるとして、ピアソンエ型分布曲線、すなわち、

$$(1) f(Y_t) = f_t \left(1 + \frac{\bar{Y}_t}{a_t}\right)^{1/a_t} \left(1 - \frac{\bar{Y}_t}{b_t}\right)^{1/b_t}$$

$$(2) f(X_s) = f_s \left(1 + \frac{\bar{X}_s}{a_s}\right)^{1/a_s} \left(1 - \frac{\bar{X}_s}{b_s}\right)^{1/b_s}$$

として表わすと、潮位と波高の重ね合わせ波高位 $Z_{ts} = Y_t + (X_s/2)$ の頻度分布曲線は、

$$(3) F(Z_{ts}) = f \left(1 + \frac{\bar{Z}_{ts}}{a}\right)^{1/a} \left(1 - \frac{\bar{Z}_{ts}}{b}\right)^{1/b}$$

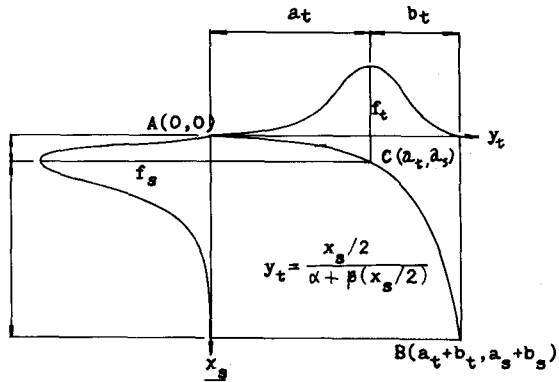


図-1 波高位のエードを連ねる曲線のおみ方

となり、この曲線式が、現地観測結果とかなり良く一致する。¹⁾ ただし、
 $f = \gamma(f_t + f_s)/2 + (1-\gamma)f_t f_s$, $a = a_t - \gamma(a_t - a_s)$, $b = b_s + \gamma(b_t + b_s)$, $\gamma = \gamma(\bar{Y}_t + \bar{X}_s)/2 + (1-\gamma)\bar{Y}_t \bar{X}_s$, $\bar{Y}_t = Y_t - a_t$, $\bar{X}_s = (X_s/2) - a_s$, $\bar{Z}_{ts} = Y_t + (X_s/2) - a$ である。潮位(Y_t)と半波高($X_s/2$)の相関分布から、潮位と波高の重ね合わせによる各々の波高位のモードを連ねる曲線として、座標 $A(0,0)$, $B(a_t+b_t, a_s+b_s)$, $C(a_t, a_s)$ を通る曲線式

$$(4) y_t = \frac{x_s/2}{d + \beta(x_s/2)}$$

を図-1のようすに与えたとする。この式が潮位と波高の関係を与える曲

線となり、定数 d , β は座標 A , B , C により求められる。図-2は、波高位 Z_{ts} の大きさと(4)式の関係を示すもので、潮位と波高のモードの交点 C から波高位の大きさを示す直線軸 AB に垂線を下ろし点 D とする。この点 D を波高位のモードの位置とすると、波高位の大きさの西端 A' , B' 点が求められる。すなわち、 A' , B' 間に波高位の大きさによる頻度が分布することになる。たとえば、波高位の大きさを G 点とすると、潮位と波高は、曲線上の点 H から T , S 点を経てことがある。また、最大波高位の B' 点に対しては、 T' , S' 点が求められ、最大潮位 T_{max} 、最大波高 S_{max} よりも少し潮位と波高があること、合理的な計画潮位や計画波高を選ぶことができる。したがって、最大潮位に最大波高を考慮するよりも設計上合理的な値と考える。図-3は、千葉県九十九里

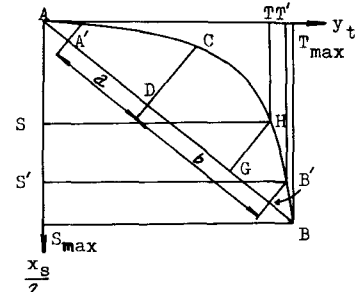


図-2 波高位と潮位・波高の関係

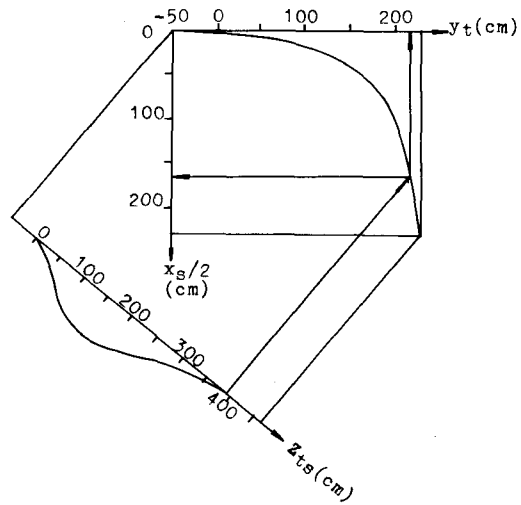


図-3. 計算例

海岸の片貝漁港における計算例であり、波高位の最大値 $Z_{ts} = 390 \text{ cm}$ に対して、潮位 $y_t = 222 \text{ cm}$ 、半波高 $X_s/2 = 168 \text{ cm}$ を(4)式より算ぶことができ、最大潮位 230 cm 、最大半波高 230 cm となり、この値を算出することができた。

4. 結び

以上の方針は、潮位と波高の設計値をかなり合理的に算ぶことができたが、波高と周期などの関係にも適用できることと思われる。(参考文献) 1)久留米実験水系研究会編、『潮位と波高の合成・波高位に関する研究』、松江海岸防護講習会集、1976.11.